

九州大学工学部 正員 内田一郎
九州大学工学部 正員 平田登基男

1. はじめに ソコロフスキイ (Sokolovskii) 塑性論は、基礎の支持力、斜面の安定や擁壁に作用する土圧など、多くの問題に応用されている。その理論の基本となるところは、(1)破壊領域のすべての点で極限平衡状態にある。(2)土の構成方程式としては、クーロン (Coulomb) の破壊規準式がなりたつ。という2つである。これらの条件を満たす土においては、ソコロフスキイ塑性論から求められるすべり線網と各応力は正しい値を示す。ところが土の構成方程式については、十分な精度でしかも一般性のある式が見出されているとはいえない。今後の研究に待つところが大きい。またたとえ現段階においてクーロンの破壊規準式がなりたつことが正しいと認めたとしても、筆者等も指摘したように⁽¹⁾、クーロンの破壊規準式に各点でのモール (Mohr) 圏が同時に接しない場合があり、土がすべての点において極限平衡状態にあるという場合は存在しにくい。つまり多少とも進行性破壊を示す。緩づめの砂や軟弱地盤などでは、とくにその破壊は進行的性質を示すが、それだけではなく、たとえば宅地造成や道路などの盛土で、リッジ付近に載荷した場合のように、載荷位置やリコウ配などの盛土形状によっても進行性の破壊を示す。それゆえ、実験から求められるすべり線形状は、種々の支持力論から求められるものとは、かなり異なり、くる場合が多い。山口等⁽²⁾は支持力実験において計算値と実験値が一致しない理由として、次の3つをあげている。すなわち、(1)進行性破壊、(2)摩擦角を決める試験条件、(3)支持力式そのものの近似性である。そしてそのなかでソコロフスキイの崩密解から求められた計算値が、他のいかなる方法よりも実験値と良く一致するということを、コーカス (K.) とデビソン (Davidson) やヒル (Hill) などの文献を引用しながら、あたたかく述べている。しかし(3)についてはあまりられていない。この塑性論は、他にいろいろな問題(斜面、土圧やコンクリートなど)への適用がなされているが、計算値と実験値とはよい一致がなかなか見られない。その原因を実験の方法、精度についてのみに求めると傾向が多く、理論の基本的仮定の妥当性については疑問視されることが多い。筆者等は盛土のリッジ付近に載荷された場合の支持力問題について、そのすべり線の発生順序に差があること、およびリコウ配が急で、しかも載荷位置がリッジ端に近くなるほど、リッジに近い載荷板端から発生するすべり線が支持力に大きく影響するなどを指摘し、進行性破壊が生じていると述べたが、今回はソコロフスキイ塑性論の崩密解がどれほどの問題に適用出来るのかについて調べようとしたものである。なお今回は、載荷板がリッジに接する場合のみについて調べた。

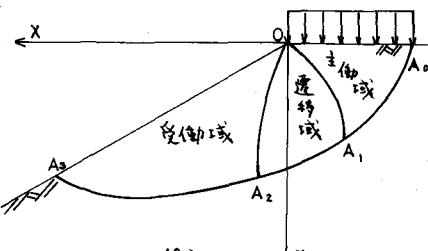
2. リッジに載荷した場合の盛土地盤の支持力

図-1(a) に塑性域図を示す。図面上には図-1(b) のよろこぶ。ここでは、受動側荷重を与えて主動側荷重を求める。ソコロフスキイ式の詳細な説明は他書にゆずつて、ここではごく簡単に要旨だけを述べる。

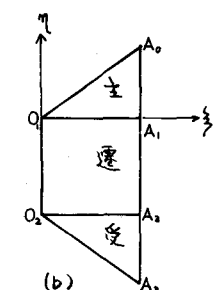
O_2A_3 境界上では $\theta_i = (\alpha_i - \delta_i - 2\alpha)/2$, $\tilde{\sigma} = P(x, z) \sin \Delta_i / \sin(\Delta_i - \delta_i)$, $x, z = x \tan \alpha_i$, O_2O_3 境界上では $\theta_i = \theta_i + (\theta_2 - \theta_i) \times I/N$, $\tilde{\sigma}_i = P(0, 0) \sin \Delta_i e^{\frac{I(\theta_i - \theta_2)}{N} \tan \alpha_i} / \sin(\Delta_i - \delta_i)$ を用い、 I を $0 \sim N$ まで変化させて θ_i , $\tilde{\sigma}_i$, $x = z = 0$ を求める。

O_1A_0 境界上では、 θ_i は $\theta_i = -(\pi + \alpha)/2$ で、 $\tilde{\sigma}_i$, x, z は次の漸化式で求めらる。

$$x_{ij} = (-z_{i+1,j} + z_{i,j}) / \tan(\theta_{i+1,j} + \mu) + x_{i,j-1}, \quad z_{ij} = z_{i,j-1}$$



(a)



(b)

図-1 塑性域図

$$\tilde{\theta}_{ij} = -2\tilde{\theta}_{ij}(\theta_{ij} - \theta_{i,j})\tan\phi + t[(\theta_{ij} - \theta_{i,j}) - (\theta_{ij} - \theta_{i,j})\tan\phi] + \tilde{\theta}_{i,j}$$

そしてこれらの境界上の値を用いて、領域 $A_0A_1A_1A_2A_3A_2$ (A_3 以外)の各値が遂次、つきの漸化式から求められる。

$$\theta_{ij} = [\theta_{i,j} - \theta_{i,j-1} + \theta_{i,j}\tan(\theta_{i,j} + \mu) - \theta_{i,j-1}\tan(\theta_{i,j-1} - \mu)] / [\tan(\theta_{i,j} + \mu) - \tan(\theta_{i,j-1} - \mu)]$$

$$\theta_{ij} = [\tan(\theta_{i,j-1} + \mu)\tan(\theta_{i,j-1} - \mu)(\theta_{i,j} - \theta_{i,j-1}) + \theta_{i,j}\tan(\theta_{i,j} - \mu) - \theta_{i,j-1}\tan(\theta_{i,j-1} + \mu)] / [\tan(\theta_{i,j-1} + \mu) - \tan(\theta_{i,j-1} - \mu)]$$

$$\theta_{ij} = [t(C\tilde{\theta}_{ij} + D\tilde{\theta}_{i,j}) + 2\tilde{\theta}_{ij}\tilde{\theta}_{i,j}(1 + (\theta_{i,j} - \theta_{i,j-1})\tan\phi)] / [\tilde{\theta}_{i,j} + \tilde{\theta}_{i,j-1}]$$

$$\theta_{ij} = [C\tilde{\theta}_{ij} - \tilde{\theta}_{i,j} + 2\tan\phi(\tilde{\theta}_{ij}\theta_{i,j} + \tilde{\theta}_{i,j}\theta_{i,j}) + t(C-D)] / [2\tan\phi(\tilde{\theta}_{i,j} + \tilde{\theta}_{i,j-1})]$$

$$\therefore C = (\theta_{ij} - \theta_{i,j}) - \tan\phi(\theta_{ij} - \theta_{i,j-1})$$

$$D = (\theta_{ij} - \theta_{i,j-1}) + \tan\phi(\theta_{ij} - \theta_{i,j-1})$$

このようにして求められた各点の (x_{ij}, z_{ij}) を用いてそれがいたすべり線網と、実験値との比較を行なうのが図-2.(a)(b)(c)である。これらの図から次のようなことが明らかにされた。

○すべり線は、リコウ配が緩やかで 30° では計算から求めたほうが実験から求めたものよりも上位にある。ところが 45° の場合には計算によるものと実験によるものとでは、形状にかなりのズレが見られるけれども大体において、同じところにある。さらにリコウ配が急な 60° では、計算によるもののはうが、実験によると求めたものよりも下側にある。

○上述したことは支持力にも影響があらわれることが推察される。つまりリコウ配が緩やかな場合には、計算値よりも実験値のほうが大きく、安全側であり、リコウ配が急な場合は計算値のほうが、実験値よりも大きめの値を示し、危険側を示すと思われる。この推測の妥当なことは、マイヤーホフ(Meyerhof)の計算値との比較で既に報告している。

○リ肩に接する3載荷板端から発生するすべり線は、リコウ配が急になるほど、主動域境界のOA線よりも受動域境界のOA線のすべり線として発達する傾向にある。

○主動域の頂点 A_0 は、計算ではリコウ配が大きくなるにつれて、水平、垂直両方向ともリ肩から遠くなっている。実験結果からはあまり明確に出でなかった。

3. おもじり 今回の計算値はリコウ配を3種類変化させたが、リコウ配がさしに急な場合、および載荷板がリ肩からある距離には離れた場合のすべり線網などについて調べていきたい。

[参考文献] (1) 内田、平13(1974)

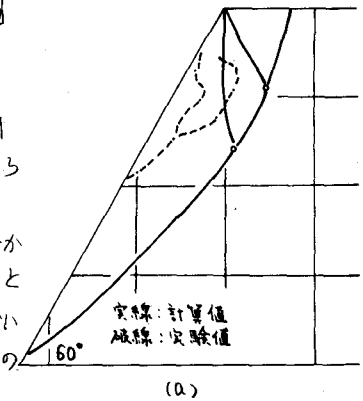
日本工質工学会研究発表会

(2) 山口耕次郎著「主張地盤力学」第2版、岩波新書、N-233

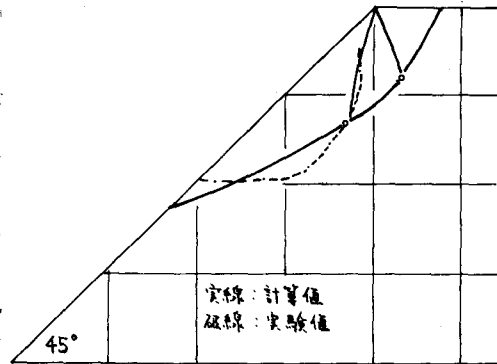
p.71~85

(3) (1)に同じ、(4) R.E.Haus著 Foundations of Theoretical Soil Mechanics. (5) V.D.Sokolovskii. エネルギー法による地盤の力学的性質 (基礎論文). 1974. (6) T.H.W. Soil Mechanics.

(7) 土木・砂防面の実用的アプローチ (基礎論文). 1974. (8) 田嶋 勝、土木学会中部支部会 (9) (1)に同じ



(a)



(b)

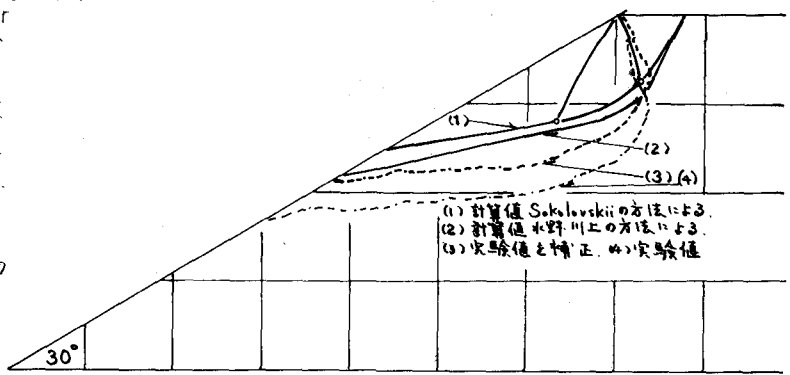


図-2. スベリ線の計算値と実験値の比較 (c)